

# Stabiliteetti

Missä määrin nosteesta (lämpötilan pystyprofiilista) johtuvat ilmiöt vaikuttavat turbulenssiin?

- synnyttävät: epästabiili
- eivät vaikuta: neutraali
- vaimentavat: stabiili

# vanha kannon TKE

2

$$\frac{\partial k}{\partial t} = -\frac{\partial}{\partial z} \left[ \overline{k_x w'} + \frac{\overline{p' w'}}{\rho} \right] - \underbrace{\overline{u' w'} \frac{\partial \bar{u}}{\partial z} + \overline{v' w'} \frac{\partial \bar{v}}{\partial z}}_S + \underbrace{\frac{\rho}{\theta} \overline{w' \theta'}}_B - \epsilon$$

vuo-Richardsonin luku  $Ri_f$

$$\frac{B}{S} = \frac{\frac{\rho}{\theta} \overline{w' \theta'}}{\overline{u' w'} \frac{\partial \bar{u}}{\partial z} + \overline{v' w'} \frac{\partial \bar{v}}{\partial z}} \quad \left( \text{oikeastaran t\u00e4m\u00e4 on} \right. \\ \left. \frac{B}{-S} \right)$$

vuo-Richardsonin luku  $Ri_f$  tai  $R_f$

3

$$\frac{\frac{g}{\delta} \overline{w'\theta'}}{\overline{u'w'} \frac{\partial \alpha}{\partial z}}$$

jos  $\bar{u}$  valitaan  
kestitulen suunnaksi

$$\frac{\frac{g}{\delta} \overline{w'\theta'}}{\sum_{i=1}^3 \sum_{j=1}^3 \overline{v_i'v_j'} \frac{\partial \bar{v}_i}{\partial x_j}}$$

jos ei oleteta kummempia  
tulien suunnasta

$$V = (V_1, V_2, V_3)$$

$$R_{if} = \frac{\frac{2}{\theta} \overline{w' \theta'}}{\overline{u' w'} \frac{\partial \bar{u}}{\partial z}} = \frac{B}{-S}$$

4

Me kaaninen turbulenssin tuotto  $-S > 0$

epästabiili/labiili :  $B > 0$   $R_{if} < 0$

neutraali :  $B = 0$   $R_{if} = 0$

Stabiili :  $B < 0$   $R_{if} > 0$

Stabiilisuus indikaattori

# gradientti-Richardsonin luku Rig

5

Turbulenttiset vuot hankalia mitata 😞

$$\overline{w'\theta'} = -K_h \frac{\partial \bar{\theta}}{\partial z}$$

ja vielä  $K_h = K_m$

$$\overline{u'w'} = -K_m \frac{\partial \bar{u}}{\partial z}$$

$$\frac{\frac{\rho}{\theta} \overline{w'\theta'}}{\overline{u'w'} \frac{\partial \bar{u}}{\partial z}} = \frac{-K \frac{\rho}{\theta} \frac{\partial \bar{\theta}}{\partial z}}{-K \frac{\partial \bar{u}}{\partial z} \frac{\partial \bar{u}}{\partial z}} = \frac{\frac{\rho}{\theta} \frac{\partial \bar{\theta}}{\partial z}}{\left(\frac{\partial \bar{u}}{\partial z}\right)^2} = Rig$$

bulk-Richardsonin luku  $R_{\theta}$  tai  $R_B$

Jos ei jakseta mitata edes  $\bar{\theta}$ :n ja  $\bar{u}$ :n pysty-  
profiileja, riittää mitata edes 2 korkeudelta.

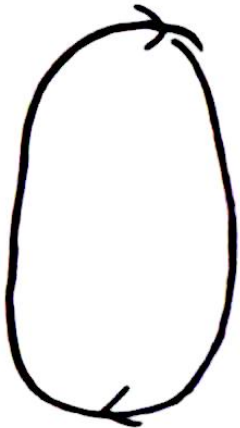
Tällöin  $\frac{\partial \bar{\theta}}{\partial z} \approx \frac{\Delta \bar{\theta}}{\Delta z}$        $\frac{\partial \bar{u}}{\partial z} \approx \frac{\Delta \bar{u}}{\Delta z}$

$$\frac{\frac{g}{\bar{\theta}} \frac{\partial \bar{\theta}}{\partial z}}{\left(\frac{\partial \bar{u}}{\partial z}\right)^2} = \frac{\frac{g}{\bar{\theta}} \Delta \bar{\theta}}{\frac{(\Delta \bar{u})^2}{\Delta z}} = \frac{g}{\frac{1}{2}(\bar{\theta}_1 + \bar{\theta}_2)} \frac{\bar{\theta}_2 - \bar{\theta}_1}{(\bar{u}_2 - \bar{u}_1)^2} (z_2 - z_1)$$

$$z_2 > z_1$$

$R_i$  myös turbulenssin anisotropiisuuden  
mitta

$$R_i < 0$$



$$R_i = 0$$



$$R_i > 0$$





Praja sanoo myös että

$$Rig = \frac{\frac{g}{\theta} \frac{\partial \bar{\theta}}{\partial z}}{\left(\frac{\partial \bar{u}}{\partial z}\right)^2} = \frac{N^2}{\left(\frac{\partial \bar{u}}{\partial z}\right)^2}$$

missä  $N$  on Brunt - Väisälä - taajuus,

eli

$$N = \sqrt{\frac{g}{\theta} \frac{\partial \bar{\theta}}{\partial z}}$$

Mitä tämä tarkoittaa?



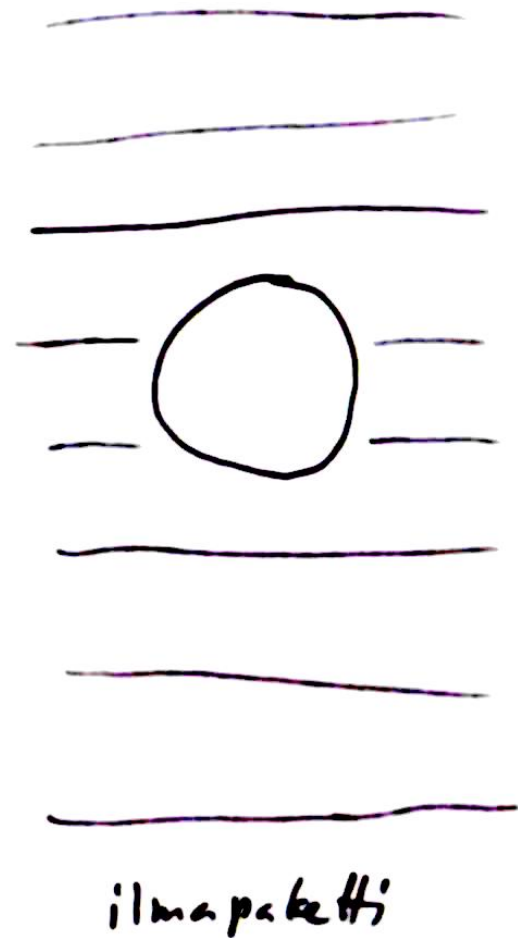
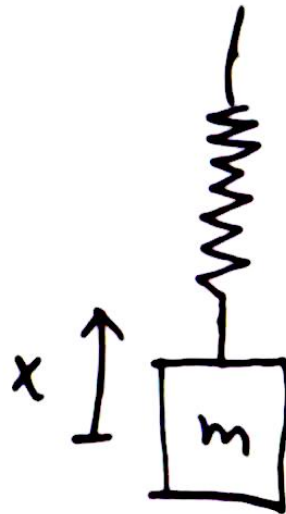
# Harmoninen oskillaattori:

Jousivoima

$$F = -kx$$

$$f = \frac{1}{2\pi} \sqrt{\frac{k}{m}}$$

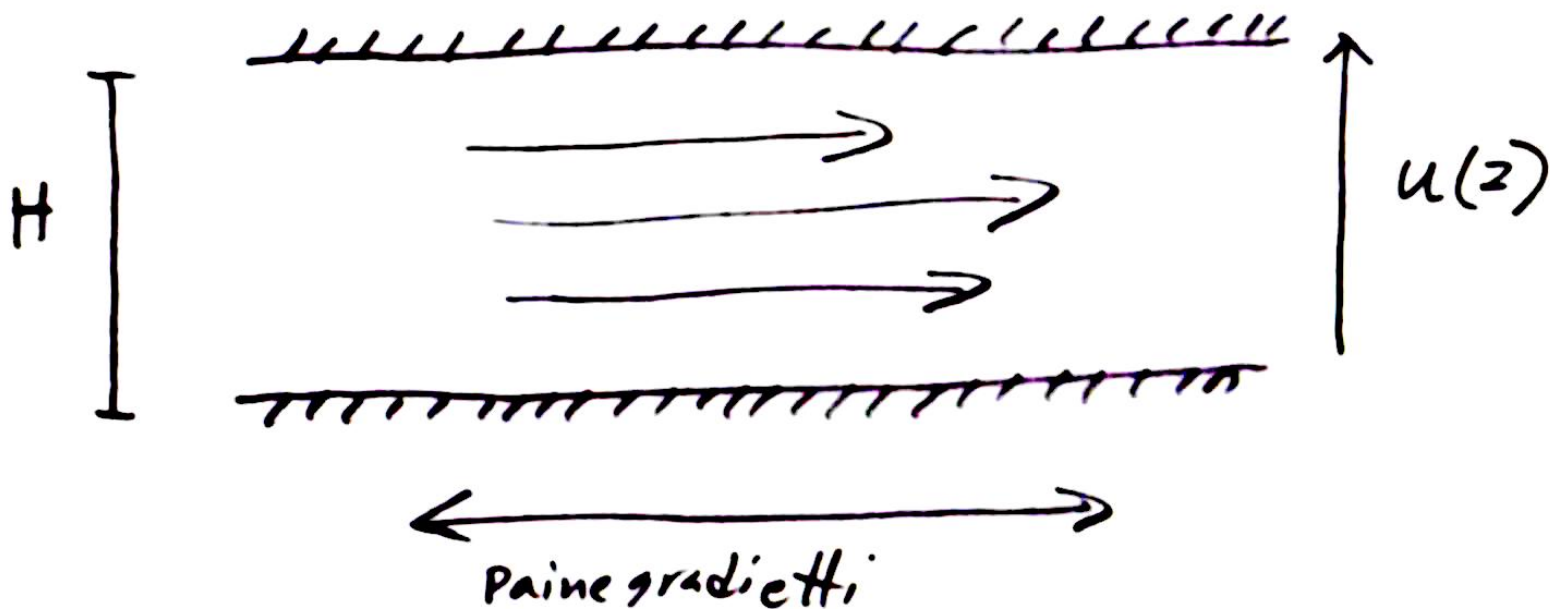
$$N = \sqrt{\frac{\partial}{\partial \theta} \frac{\partial \bar{\theta}}{\partial z}}$$



# Similariteetti / Dimensioanalyysiä

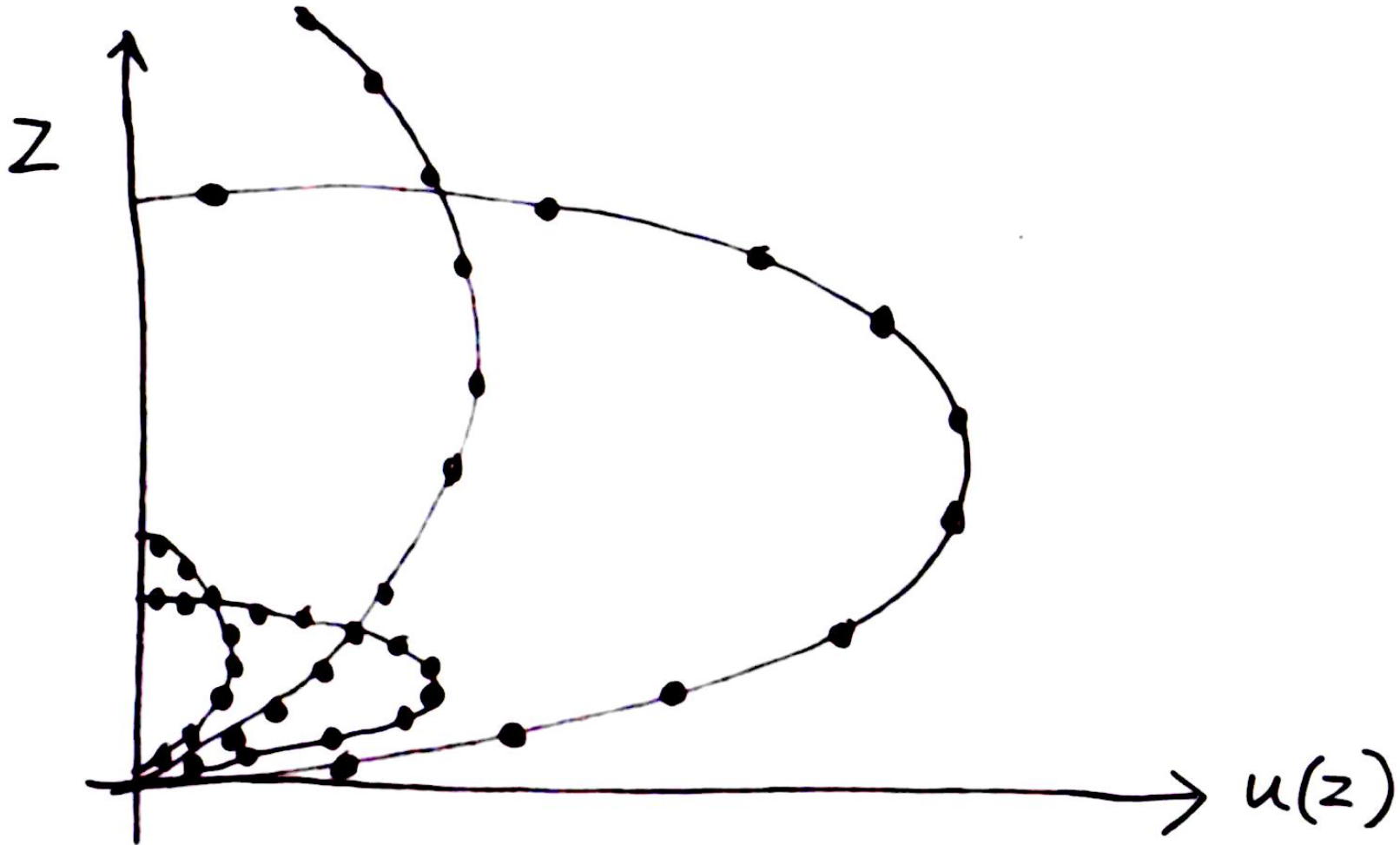
10

Esimerkki (laskarit): virtaus 2 levyn välissä (tässä ei liikkuvia levyjä).

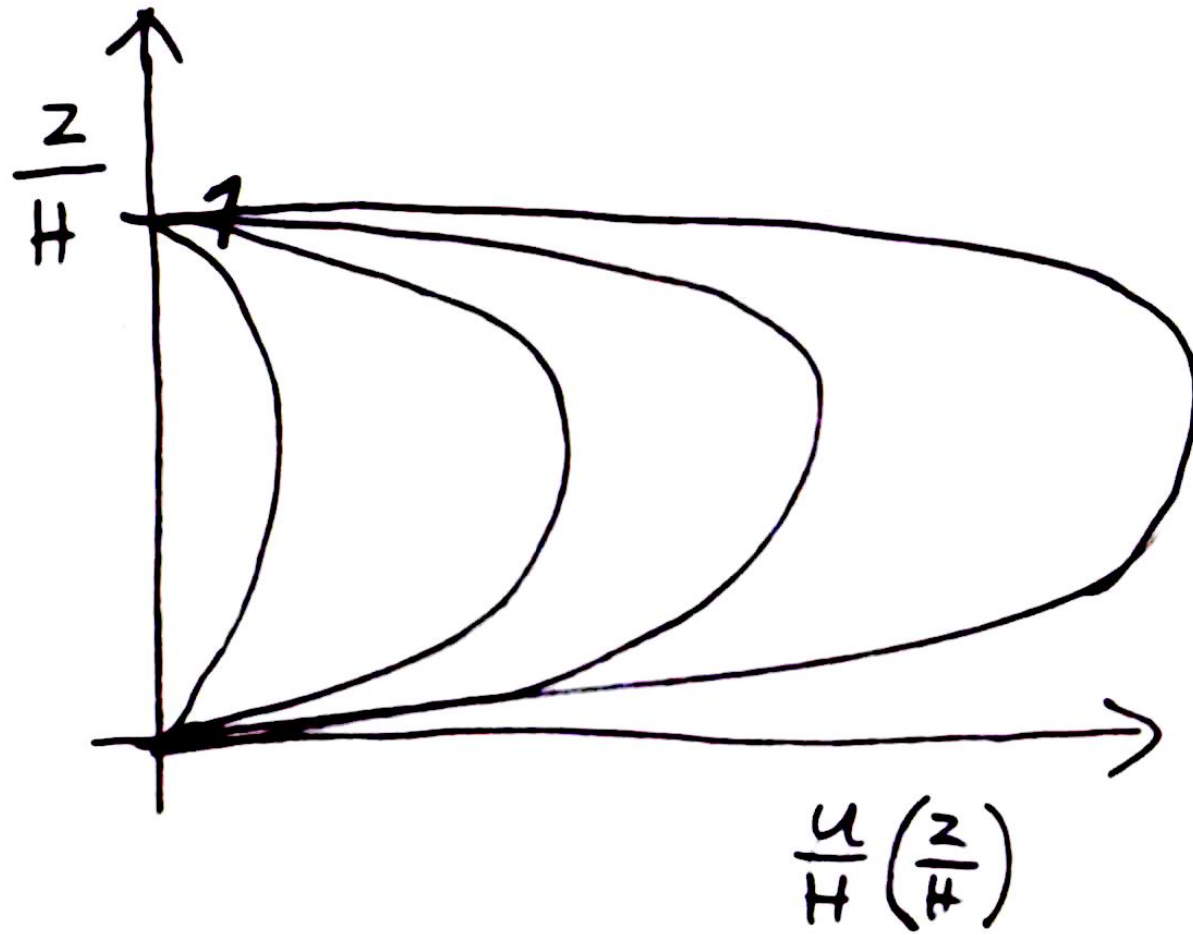


Mitataan paljon erilaisia tapauksia

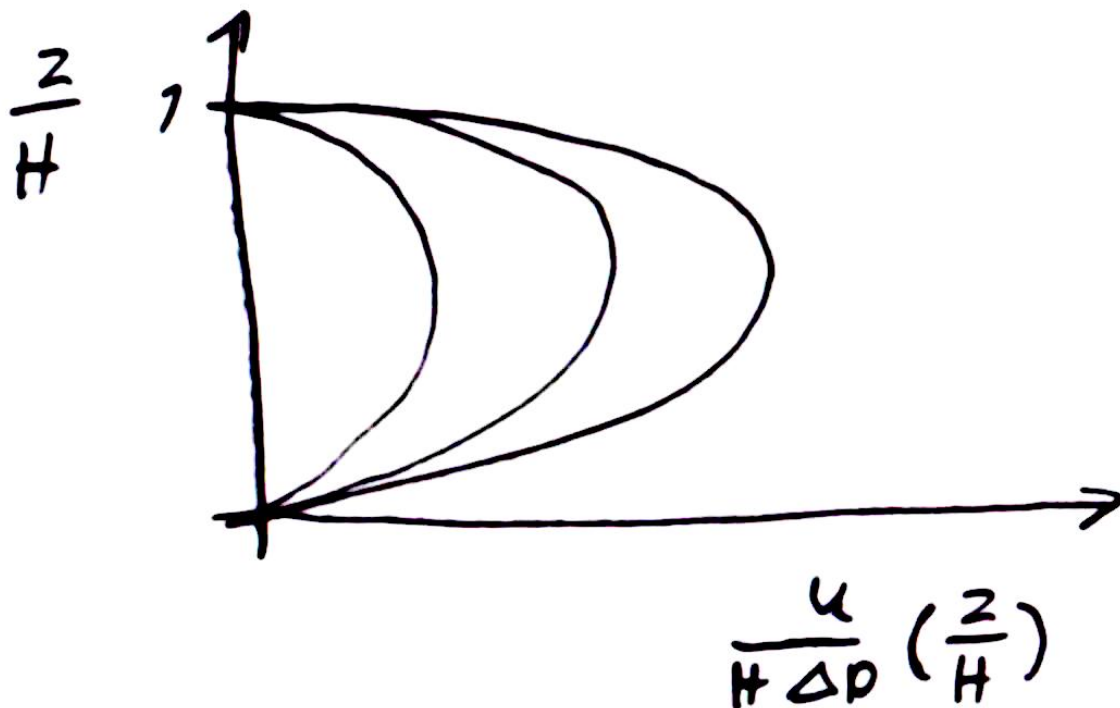
11



# Idea: skaalataan $z$ H:lla

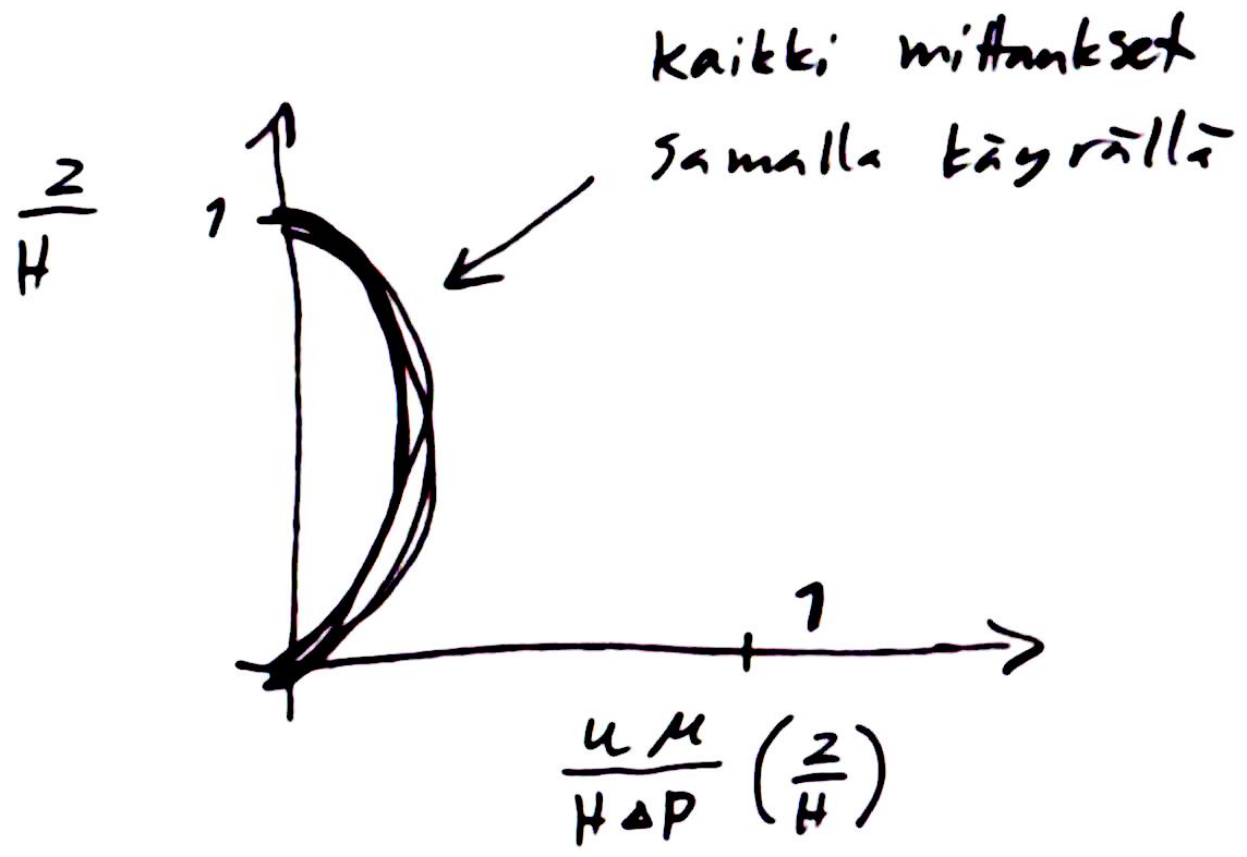


skaalataan  $u$  paine-erolla  $\Delta p$



Skaalataan (kerrotaan)  $u$  viskositeetilla  $\mu$

---



Miksi näin?

15

laskuista tehtävän vastaus:

$$u(z) = \frac{1}{2\mu} \frac{\partial P}{\partial x} z^2 - \frac{1}{2\mu} \frac{\partial P}{\partial x} H z = \frac{1}{2\mu} \frac{\partial P}{\partial x} (z^2 - H z)$$

$$z' = \frac{z}{H} \quad z = H z'$$

$$u(z') = \frac{1}{2\mu} \frac{\partial P}{\partial x} (H^2 z'^2 - H^2 z')$$

$$u' = \frac{\mu}{H \Delta P} u$$

$$u'(z') = \frac{1}{2} (z'^2 - z')$$

$$\left( \frac{\partial P}{\partial x} = \frac{\Delta P}{H} \right)$$

(oikeastaan  $\Delta P < 0$ )



Idea oli siirtää dimensioitomiin suureisiin

16

$$u(z) \quad [u] = \frac{m}{s} \quad [z] = m$$

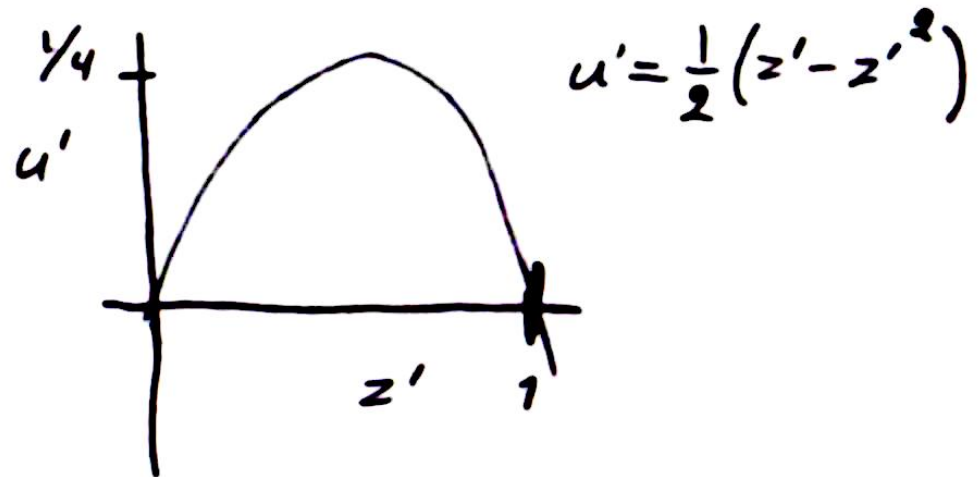
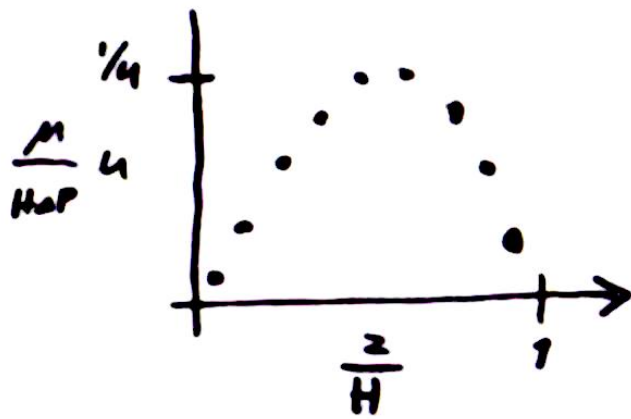
Tilannetta kuvaavat suureet:

$H, \mu, \Delta P$

$$[H] = m \quad [\mu] = Pa \cdot s \quad [\Delta P] = Pa$$

$$\left[ \frac{z}{H} \right] = 1 \quad \left[ \frac{\mu}{H \Delta P} u \right] = \frac{Pa \cdot s}{m \cdot Pa} \frac{m}{s} = 1$$

Tässä tapauksessa tunnettiin ilmiötä kuvaava laki (NS yhtälö) ja jopa osattiin ratkaista se. Mutta vaikka ei tunnettaisi, jos keksitään hyvä dimensioiton skaalaus, voidaan muutaman kokeen avulla arvata oikea vastaus



Vielä parempi: jos kohteena ei ole funktio, kuten  $u(z)$ , vaan skalaari, kuten virtauksen keskinopeus (tai putken kokonaisvirtama), se voitaisiin ratkaista, vakio kerruinta vaille.

$$\bar{u} \sim \frac{H \Delta P}{\mu}$$

Putken virtaama  $\frac{\text{kg}}{\text{s}}$

$$[D] = \text{m} \quad [\Delta P] = \text{Pa} = \frac{\text{kg}}{\text{m s}^2} \quad [\mu] = \text{Pa s} = \frac{\text{kg}}{\text{m s}}$$

tarvitsem lisäksi  $[\rho] = \frac{\text{kg}}{\text{m}^3}$

Tarpeeksi kun mieltii:

$$\frac{[\Delta P] [\rho] [D]^3}{[\mu]} = \frac{\text{Pa} \frac{\text{kg}}{\text{m}^3} \text{m}^3}{\text{Pa s}} = \frac{\text{kg}}{\text{s}}$$

eli virtaama  $\sim \frac{\Delta P \rho D^3}{\mu}$

Ajattellaan virtauksen nopeusprofiilia  
pinnan lähellä,  $u(z)$

Jos ajattellaan vain yksi pinta, ei haluta  
ajotella mitään paine gradienttia tai  
keskinopeutta. Halutaan kuitenkin  
skaalata  $u$  ja  $z$  jotenkin.

Erittäin lähellä sileää pintaa oleuvissa  
suureita voisivat olla

21

$$[\rho] = \frac{\text{kg}}{\text{m}^3}$$

$$[v] = \frac{\text{m}^2}{\text{s}}$$

$$[T] = \frac{\text{kg}}{\text{m s}^2}$$

$T = T_{13} = \text{liikemäärän pystyvuo}$

$$\left[ \sqrt{\frac{T}{\rho}} \right] = \sqrt{\frac{\frac{\text{kg}}{\text{m s}^2}}{\frac{\text{kg}}{\text{m}^3}}} = \sqrt{\frac{\text{m}^2}{\text{s}^2}} = \frac{\text{m}}{\text{s}} = u_*$$

$$\left[ \frac{v}{u_*} \right] = \frac{\text{m}^2/\text{s}}{\text{m}/\text{s}} = \text{m}$$

---

Saadaan:

$$u' = \frac{u}{\sqrt{\frac{\tau}{\rho}}} = \frac{u}{u_*}$$

$$z' = \frac{z}{\nu/u_*}$$

$u_*$  = Kitkanopeus

$z'$  = korkeus suhteutettuna molekulaarisen viskositeetin mittakaavaan



$$u' = f(z')$$

$$\frac{u}{u_x} = f\left(\frac{u_x}{r} z\right)$$

Muuta kantta (mittaukset, laskarit)

tiedetään että pinnan lähellä

$f$  on lineaarinen.

Entäpä turbulenttinen virtaus  
karkean pinnan lähellä?

24

Nyt viskositeetti  $\nu$  ei ole olennainen.

Toisaalta pinnan karkeus pitää  
kuvata jollain suureella.

Jos  $\tau$  onkin Reynoldsin stressi,

$$u_* = \sqrt{\frac{\tau}{\rho}} = \sqrt{\frac{\rho \overline{u'w'}}{\rho}} = \sqrt{\overline{u'w'}}$$

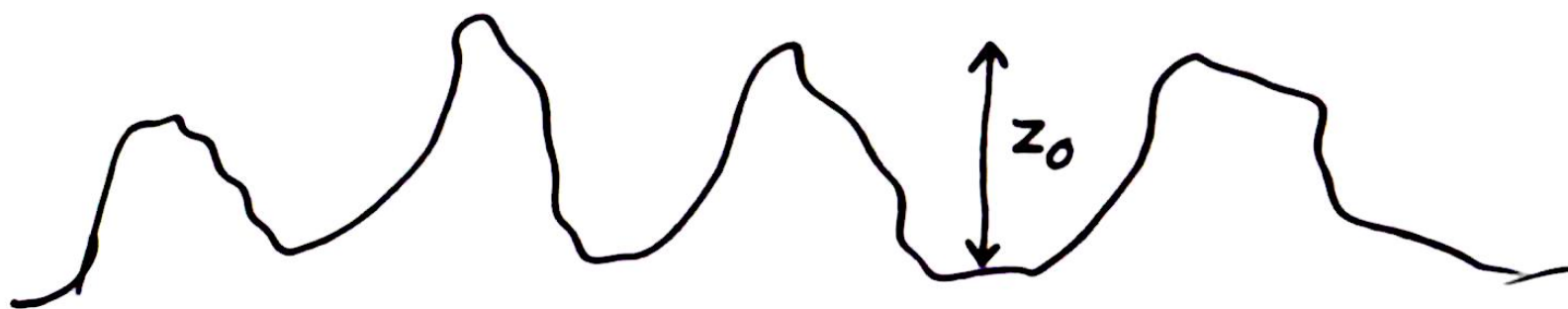
(tai no,  $\sqrt{-\overline{u'w'}}$  koska  $\overline{u'w'}$  on alaspäin)

niin  $u_*$  kelpaa edelleen skaalaukseen

---

Jos pinnan rosoisuutta mitataan  
pitkuden yksiköillä, saadaan tästä  
suoraan relevantti pituusjakausta

$$z' = \frac{z}{z_0}$$



$$\text{Siis, } \frac{u}{u_*} = f\left(\frac{z}{z_0}\right)$$

27

Mittauksen mukaan näyttää siltä että

$f$  on logaritmi

Vaiikka haluttiin profiili  $u(z)$ ,  
voidaan myös kikkaila ja olla  
kiinnostuneita "skalaarista"

$$\left[ \frac{\partial u}{\partial z} \right] = \frac{m/s}{m} = \frac{1}{s}$$

$$\left[ \frac{u_x}{z} \right] = \frac{m/s}{m} = \frac{1}{s}$$

$$\frac{\partial u}{\partial z} \sim \frac{u_x}{z}$$

Sattuneesta syystä merkitään verrannollisuus-<sup>29</sup>  
kerrointa  $\frac{1}{k}$ :lla,

$$\frac{du}{dz} = \frac{1}{k} \frac{u_*}{z}$$

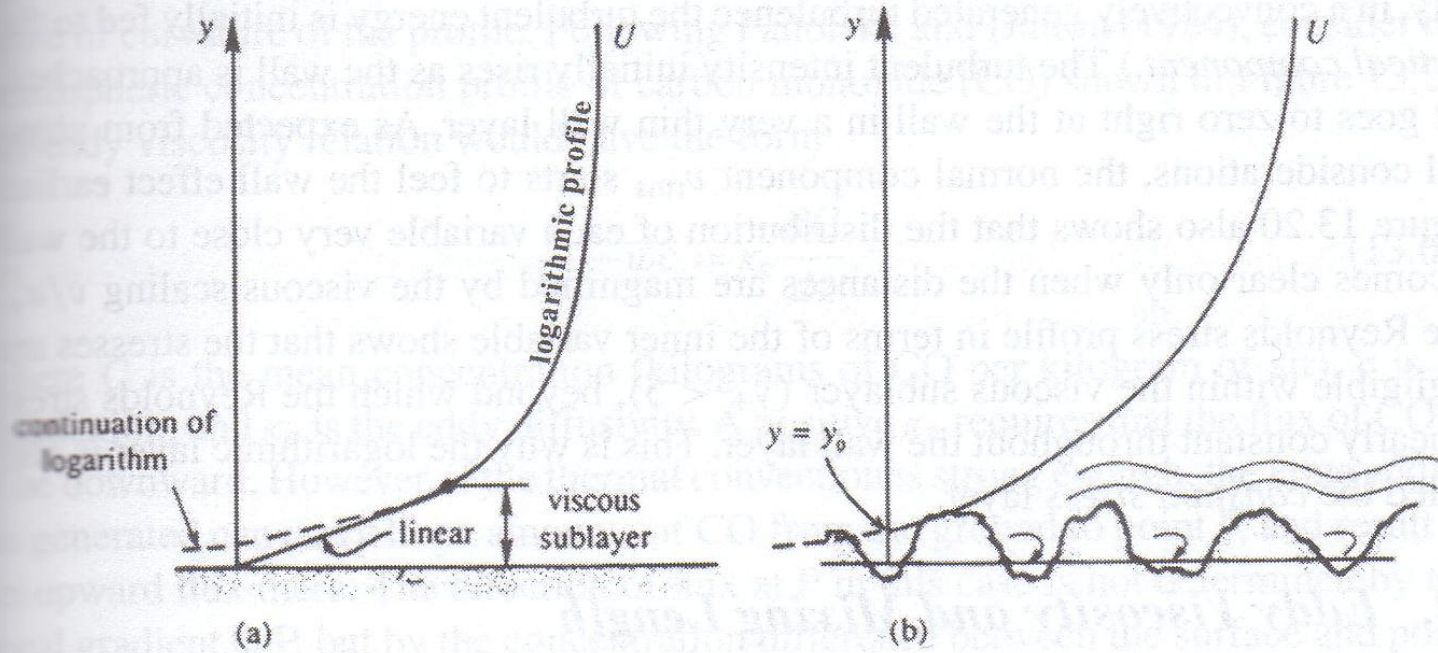
$$\int_0^z \frac{du}{dz} dz = \frac{u_*}{k} \int_0^z \frac{1}{z} dz = \frac{u_*}{k} \ln z + C$$

Valitaan  $C = -\ln z_0$ ,

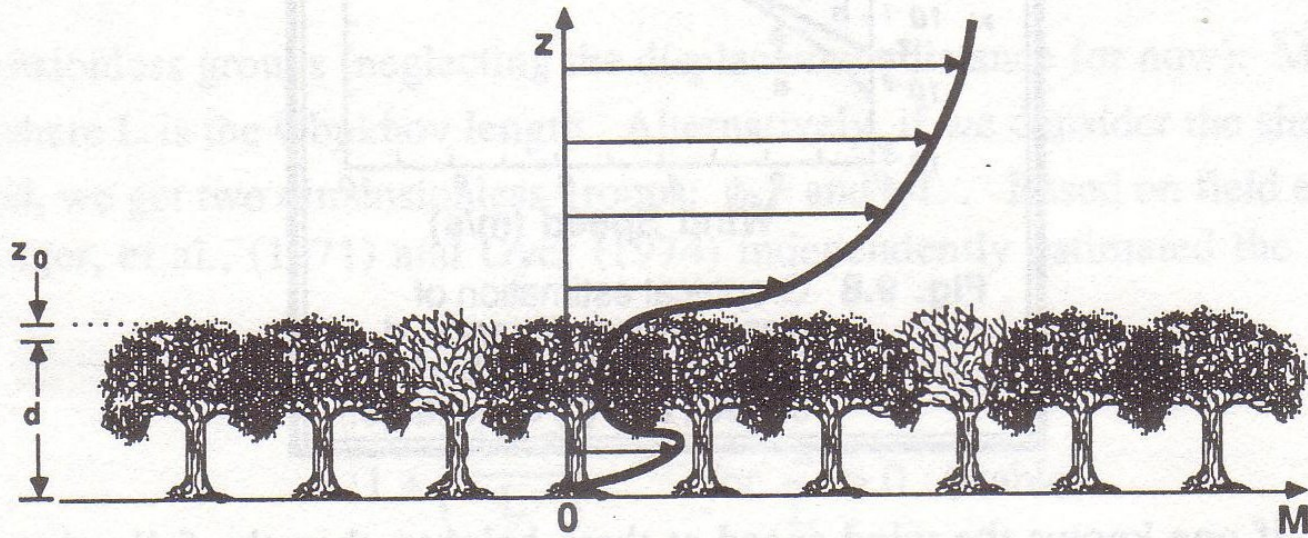
$$u(z) = \frac{u_*}{k} \ln \frac{z}{z_0}$$

---



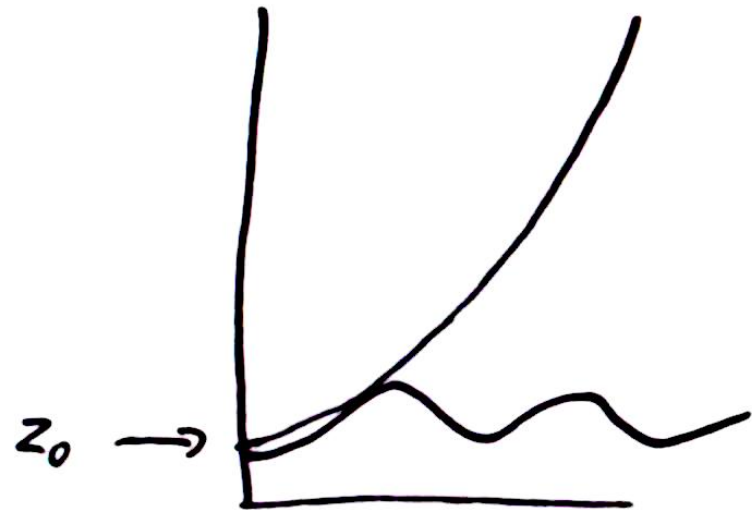


**Figure 13.19** Logarithmic velocity distributions near smooth and rough surfaces: (a) smooth wall; and (b) rough wall.

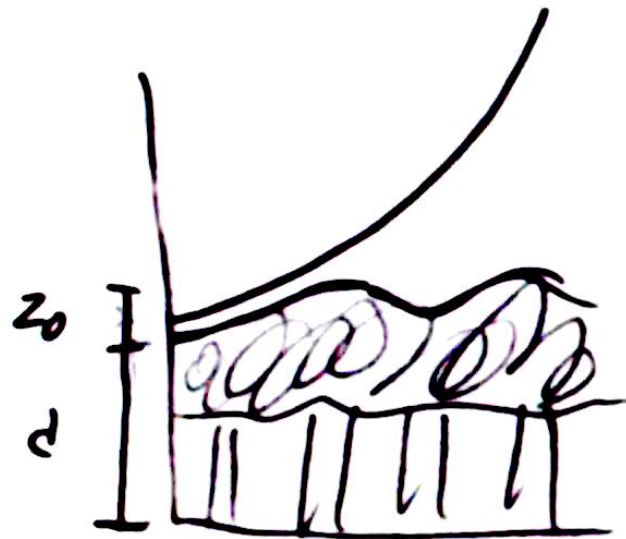


**Fig. 9.7** Flow over forest canopy showing wind speed,  $M$ , as a function of height,  $z$ . The thick canopy layer acts like a surface displaced a distance,  $d$ , above the true surface.  $z_0$  = roughness length.

$$u(z) = \frac{u}{u_*} \ln \frac{z}{z_0}$$



$$u(z) = \frac{u}{u_*} \ln \left( \frac{z-d}{z_0} \right)$$



$z_0$  = roughness length

$d$  = displacement height

Nämä siksi että tuulen ja ihmisten mielestä maan pinta on eri korkeudella.

